

С 345 К  
Ш-42

26/V-70

P9-5033

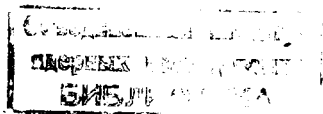
И.А. Шелаев, С.И. Козлов, Б.А. Кленин,

**ПАРАМЕТРЫ ОРБИТ ДВУХМЕТРОВОГО  
ИЗОХРОННОГО ЦИКЛОТРОНА ОИЯИ**

P9-5033

И.А. Шелаев, С.И. Козлов, Б.А. Кленин,

ПАРАМЕТРЫ ОРБИТ ДВУХМЕТРОВОГО  
ИЗОХРОННОГО ЦИКЛОТРОНА ОИЯИ



Устойчивое изохронное ускорение ионов в секторно-фокусирующем циклотроне обеспечивается при выполнении определенных требований к форме магнитного поля. Формирование поля двухметрового изохронного циклотрона /1,2/ осуществлялось с помощью железных шимм и потребовало значительного объема магнитных измерений. Для создания магнитного поля, отличающегося от изохронного в пределах  $\pm 30$  э в основном диапазоне радиусов, потребовалось вести измерения в 400.000 точек. Для этого необходимо было быстро и точно измерять поле в данной точке и иметь достаточно эффективную программу математической обработки результатов измерения.

В настоящей работе приводятся результаты расчетов движения ионов в двухметровом изохронном циклотроне.

### Обработка данных магнитных измерений

Разработанная в Лаборатории методика измерения магнитного поля<sup>/3/</sup> позволяла измерять топографию поля с высокой точностью ( $\pm 1$  э); время измерения одной точки составляло в среднем 2,5 сек. Данные измерений значений э.д.с. Холла выводились на перфоленду с помощью телеграфного аппарата СТА-2М.

Датчик Холла, используемый для измерений поля, калибровался на стенде с помощью датчика ядерного магнитного резонанса. Экспериментальная зависимость  $H = f(E_x)$  представлялась в виде полинома степени  $n$

$$H_j = \sum_{i=0}^n a_i E_{x_j}^i, \quad (1)$$

коэффициенты которого  $a_i$  определялись методом наименьших квадратов из условий:

$$\sigma^2 = \frac{\sum_{j=1}^m (H_j - \sum_{i=0}^n a_i E_{x_j}^i)^2}{m} = \min, \quad (2)$$

$$\frac{\partial}{\partial a_i} \sum_{j=1}^m (H_j - \sum_{i=0}^n a_i E_{x_j}^i)^2 = 0. \quad (3)$$

Оптимальная степень полинома  $n$ , при которой средняя квадратичная ошибка  $\sigma^2$  минимальна и составляет  $2,7 \cdot 10^{-5}$  кэ<sup>2</sup>, равна 6 (см. таблицу 1, представляющую результат численного решения системы (3)).

Таблица 1

$n$	2	3	4	5	6	7	8
$\sigma^2 \cdot 10^{-5}$	8,588	3,352	3,032	3,001	2,722	2,751	2,766

Значения э.д.с. Холла с перфоленты вводились в ЭВМ "Минск-22", где по формуле (1) вычислялось значение магнитного поля  $H(r, \theta)$  и определялось среднее магнитное поле  $H(r)$  и флаттер  $F(r)$ :

$$H(r) = \frac{1}{\pi/2} \int_0^{\pi/2} H(r, \theta) d\theta, \quad (4)$$

$$F(r) = \frac{1}{\pi/2} \int_0^{\pi/2} \frac{[H(r, \theta) - H(r)]^2}{H^2(r)} d\theta. \quad (5)$$

Информация с перфоленты накапливалась на магнитной ленте "Минск-22" и передавалась для последующей обработки на ЭВМ "БЭСМ-4", где она также записывалась на МЛ.

Дальнейшие расчеты по данным измерений проводились на машине "БЭСМ-4" по программе, блок-схема которой приведена на рис. 1. Эта программа переписывает информацию с МЛ в оперативную память машины, вычисляет  $H(r, \theta)$ ,  $H(r)$  и  $F(r)$  и определяет гармоники  $A_{N_n}(r)$  и их фазы  $\Psi_{N_n}(r)$  фурье-разложения магнитного поля  $H(r, \theta)$  по азимуту  $\theta$ :

$$H(r, \theta) = H(r) \left\{ 1 + \sum_{n=1}^{\infty} \left[ a_{N_n}(r) \cos N_n \theta + b_{N_n}(r) \sin N_n \theta \right] \right\}, \quad (6)$$

где  $A_{N_n} = \sqrt{a_{N_n}^2 + b_{N_n}^2}$ ;  $\text{tg}(N_n \Psi_{N_n}) = b_{N_n} / a_{N_n}$ ;

$$a_{N_n} = A_{N_n} \cos N_n \Psi_{N_n}; \quad b_{N_n} = A_{N_n} \sin N_n \Psi_{N_n},$$

$N$  - число элементов периодичности магнитной структуры циклотрона.

### Фазовое движение

Затем для иона с заданным отношением  $A/Z$  вычислялось изохронное поле:

$$H_{\text{из}}(r) = H_0 \frac{1 + \sigma(r)}{\sqrt{1 - \left\{ \frac{\omega_0}{c} r [1 + \sigma(r)] \right\}^2}}. \quad (7)$$

Здесь  $H_0$  - магнитное поле в центре циклотрона,  $\omega_0$  - угловая частота обращения иона,

$$\omega_0 = \frac{ZeH_0}{Am\alpha}, \quad (8)$$

где  $c$  - скорость света,  $\alpha$

$$\sigma(r) \approx \frac{1}{(1-K)(N^2-1)} \left( F(r) + \frac{r}{2} \frac{dF}{dr} \right), \quad (9)$$

$$K(r) = \frac{r}{H(r)} \cdot \frac{dH(r)}{dr}.$$

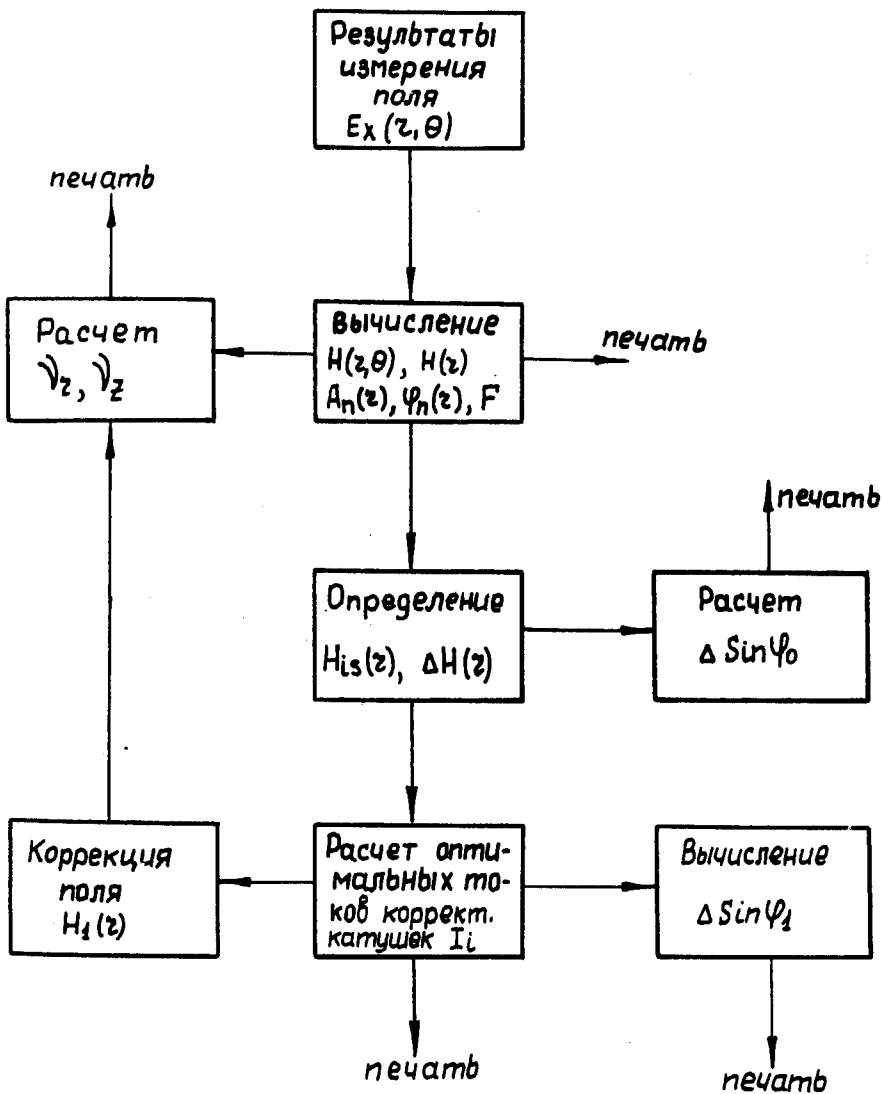


Рис.1. Блок-схема программы обработки данных магнитных измерений.

Отклонение реального среднего магнитного поля от изохронного  $\Delta H(r) = H(r) - H_{из}(r)$  приводит к смещению начальной фазы иона, определяемому выражением /4/:

$$\Delta \sin \phi(r) = \sin [n\phi(r)] - \sin [n\phi(0)] = -\frac{2\pi n}{\epsilon_0} \int_0^r \Delta b(\rho) [1 + \sigma + \rho \sigma'] \rho d\rho, \quad (10)$$

где  $\epsilon_0 = \frac{\Delta E}{\Lambda m_0 c}$ ,  $\phi_0$  - начальная фаза.

Если при расчете фазового движения выполнялось условие  $|\Delta \sin \phi(r)| + a > 1$ , где  $a$  - заранее выбранное число меньше 1, то значение уровня поля в центре изменялось на некоторую величину  $\delta H$  и снова вычислялись  $H(r)$ ,  $\Delta H(r)$ ,  $\Delta \sin \phi(r)$  и т.д.

После ряда подобных итераций определялись поле в центре  $H_0$  и частота  $\omega_0$ , удовлетворяющие указанным выше условиям ( $a = 0,5$ ;  $\delta H = 5 \text{ э}$ ), а также разность между реальным и изохронным полями  $\Delta H(r)$ .

Расчеты фазового движения ионов в двухметровом изохронном циклотроне показали /2/, что магнитная структура циклотрона обеспечивает изохронное ускорение ионов в диапазоне отношений  $\Lambda/Z = 2,8 + 4$ .

Далее в ЭВМ вводится массив экспериментально определенных распределений среднего магнитного поля  $\phi_i(r)$  в  $(\text{э}/a)$  от каждой  $i$ -ой кольцевой корректирующей катушки. Значения токов в катушках  $I_i$ , при которых  $\Delta H(r)$  компенсируется до минимальной величины, определялись м.н.к. в предположении, что  $\phi_i(r)$  не зависит от величин  $I_i$  и  $H(r)$  и вновь вычислялся  $\Delta \sin \phi(r)$ .

#### Расчет частот бетатронных колебаний

Частоты радиальных  $\nu_r$  и вертикальных  $\nu_z$  колебаний вычислялись по аналитическим выражениям /5,6/. Ввиду громоздкости этих выражений здесь приводятся только их функциональные зависимости:

Таблица 2

$R$ [см]	10	20	30	40	50	60	70	80	90
$A_4$ [кэВ]	4,932	6,633	6,709	6,640	6,474	6,293	6,122	5,930	5,674
$A_8$	1,256	1,871	1,806	1,478	1,093	0,743	0,590	0,723	0,406
$A_{12}$	0,227	0,896	1,342	1,688	1,950	2,109	2,188	2,189	2,230
$A_{16}$	0,033	0,858	1,115	1,094	0,943	0,708	0,628	0,766	0,423
$A_{20}$	0,080	0,409	0,224	0,520	0,796	1,055	1,152	1,175	1,288
$A_{24}$	0,042	0,327	0,590	0,686	0,705	0,558	0,540	0,687	0,381
$A_{28}$	0,038	0,124	0,097	0,119	0,500	0,588	0,667	0,679	0,821
$A_{32}$	0,040	0,090	0,090	0,095	0,109	0,444	0,432	0,418	0,323

∞

$$\nu_r^2 = f_1(K, K', K'', A_{Nn}, A'_{Nn}, A''_{Nn});$$

$$\nu_z^2 = f_2(K, K', K'', A_{Nn}, A'_{Nn}, A''_{Nn});$$

(11)

где

$$K' = \frac{R^2}{H(r)} \cdot \frac{d^2 H(r)}{dr^2} \Big|_{r=R}; \quad K'' = \frac{R^3}{H(r)} \frac{d^3 H(r)}{dr^3} \Big|_{r=R};$$

$$A'_{Nn} = R \frac{dA_{Nn}}{dr}; \quad A''_{Nn} = R^2 \frac{d^2 A_{Nn}}{dr^2}.$$

Точность определения значений  $\nu_r$  и  $\nu_z$  существенно зависит от числа используемых гармоник фурье-разложения и производных среднего магнитного поля по радиусу.

В таблице 2 приведены величины амплитуд гармоник  $A_{Nn}(R)$  для одного из вариантов магнитного поля. Из таблицы видно, что значения  $A_{Nn}(R)$  относительно медленно уменьшаются с увеличением их номера. Расчет значений  $\nu_r$  и  $\nu_z$  проводился по формулам:

$$1) \quad \nu_r^2 = 1 + K; \quad \nu_z^2 = -K + F; \quad (12)$$

(так называемое "гладкое" приближение);

2) (11) с учетом трех гармоник и первой производной среднего магнитного поля;

3) (11) с учетом трех гармоник и первых трех производных среднего магнитного поля и двух производных гармоник;

4) (11) с использованием пяти гармоник и тех же производных. Результаты расчетов  $\nu_r$  и  $\nu_z$  приведены в таблице 3.

Таблица 3

R (см)	10	20	30	40	50	60	70	80	90	
1	$\nu_r$	1,00453	0,99949	1,00000	1,00025	1,00500	1,00449	1,00698	1,00993	0,98637
	$\nu_z$	0,15978	0,25008	0,25390	0,24859	0,22541	0,22056	0,20248	0,17919	0,27505
2	$\nu_r$	1,00770	1,00857	1,00767	1,00747	1,01220	1,01095	1,01299	1,01624	0,72518
	$\nu_z$	0,17377	0,25554	0,25803	0,25206	0,22873	0,22466	0,20668	0,17942	0,72418
3	$\nu_r$	1,00740	1,00830	1,00740	1,00860	1,01190	1,01080	1,01978	1,01623	0,85158
	$\nu_z$	0,17580	0,25651	0,25980	0,25583	0,23119	0,22483	0,22420	0,18230	0,72676
4	$\nu_r$	1,00738	1,00831	1,00738	1,00863	1,01195	1,01087	1,01975	1,01630	0,85141
	$\nu_z$	0,17610	0,25828	0,26304	0,25965	0,23537	0,22543	0,22914	0,18861	0,72830

10

## Интегрирование уравнений движения

Полученные по аналитическим выражениям /5,6/ параметры равно-весной орбиты (р.о.) и частоты бетатронных колебаний сравнивались затем с результатами численного интегрирования /7,8/.

Радиус  $r(\theta)$  траектории иона и угол  $\alpha(\theta)$  между касательными к траектории и окружности того же радиуса находились интегрированием уравнений движений /7/ методом Рунге-Кутты с шагом по  $\theta$ , равным  $1,875^\circ$ . В первом приближении начальное значение  $r(0)$  вычислялось по аналитической формуле /6/, а  $\alpha(0)$  принималось равным нулю. Если после интегрирования на элементе периодичности магнитной структуры удовлетворялись условия:

$$|r(\frac{\pi}{2}) - r(0)| \leq \delta_r, \quad |\alpha(\frac{\pi}{2}) - \alpha(0)| \leq \delta_\alpha,$$

где значение  $\delta = \delta_r = \delta_\alpha$  принималось равным  $10^{-8}$ , то р.о. считалось найденной. В противном случае начальные значения  $r(0)$  и  $\alpha(0)$  корректировались по алгоритму /8/ и процесс интегрирования повторялся.

Результаты этих расчетов в зависимости от номера приближения  $N$  для  $R = 54,84$  см приведены в таблице 4. На рисунке 2 представлена р.о. (для  $R = 68$  см), полученная численным интегрированием и по аналитической формуле (для 3 гармоник Фурье-разложения).

Частоты  $\nu_r$  и  $\nu_z$  определялись интегрированием уравнений /7/, содержащих радиус  $r(\theta)$  и угол  $\alpha(\theta)$  р.о. в качестве параметров.

Численные значения частот, полученные интегрированием и по аналитическим формулам (3 гармоники разложения), приводятся в таблице 5. Из таблицы видно, что аналитические формулы дают достаточно точные значения частот при сравнительно небольшом числе гармоник.

## Исследование устойчивости движения ионов с помощью фазовых графиков

Для расчета фазовых графиков /9/ использовались те же самые уравнения и процесс интегрирования, что и для р.о. Положение частицы



Таблица 4

$R [cm]$	$N$	$r(0) [cm]$	$r(\frac{T}{2}) [cm]$	$\int_0^T \dot{r} [cm]$	$\alpha(0) [рад]$	$\alpha(\frac{T}{2}) [рад]$	$\int_0^T \dot{\alpha} [рад]$	Время счета $t$ /сек/
54	1	54,960038	54,929372	$3,07 \cdot 10^{-2}$	0	$-1,7359172 \cdot 10^{-2}$	$1,7 \cdot 10^{-3}$	10
	2	54,894193	54,886741	$7,48 \cdot 10^{-3}$	$-6,0522613 \cdot 10^{-3}$	$-8,2962338 \cdot 10^{-3}$	$2,2 \cdot 10^{-4}$	40
	3	54,883950	54,883825	$2,50 \cdot 10^{-5}$	$-6,5501645 \cdot 10^{-3}$	$-6,553141 \cdot 10^{-3}$	$1,5 \cdot 10^{-6}$	40
	4	54,883844	54,883844	$\leq 10^{-7}$	$-6,5472639 \cdot 10^{-3}$	$-6,547469 \cdot 10^{-3}$	$2,0 \cdot 10^{-9}$	40
	5	54,883844	54,883844	$\leq 10^{-8}$	$-6,5472543 \cdot 10^{-3}$	$-6,5472538 \cdot 10^{-3}$	$5,0 \cdot 10^{-11}$	40

84	1	85,449292	85,650126	$2,0 \cdot 10^{-1}$	0	$-2,8616877 \cdot 10^{-2}$	$2,9 \cdot 10^{-3}$	10
	2	85,436772	85,433637	$3,0 \cdot 10^{-3}$	$-2,5319768 \cdot 10^{-2}$	$-2,5412858 \cdot 10^{-2}$	$9,0 \cdot 10^{-6}$	40
	3	85,434785	85,434780	$5,0 \cdot 10^{-6}$	$-2,5193481 \cdot 10^{-2}$	$-2,5192944 \cdot 10^{-2}$	$5,0 \cdot 10^{-2}$	40
	4	85,434785	85,434785	$\leq 10^{-8}$	$-2,5192954 \cdot 10^{-2}$	$-2,5192955 \cdot 10^{-2}$	$1,0 \cdot 10^{-10}$	40

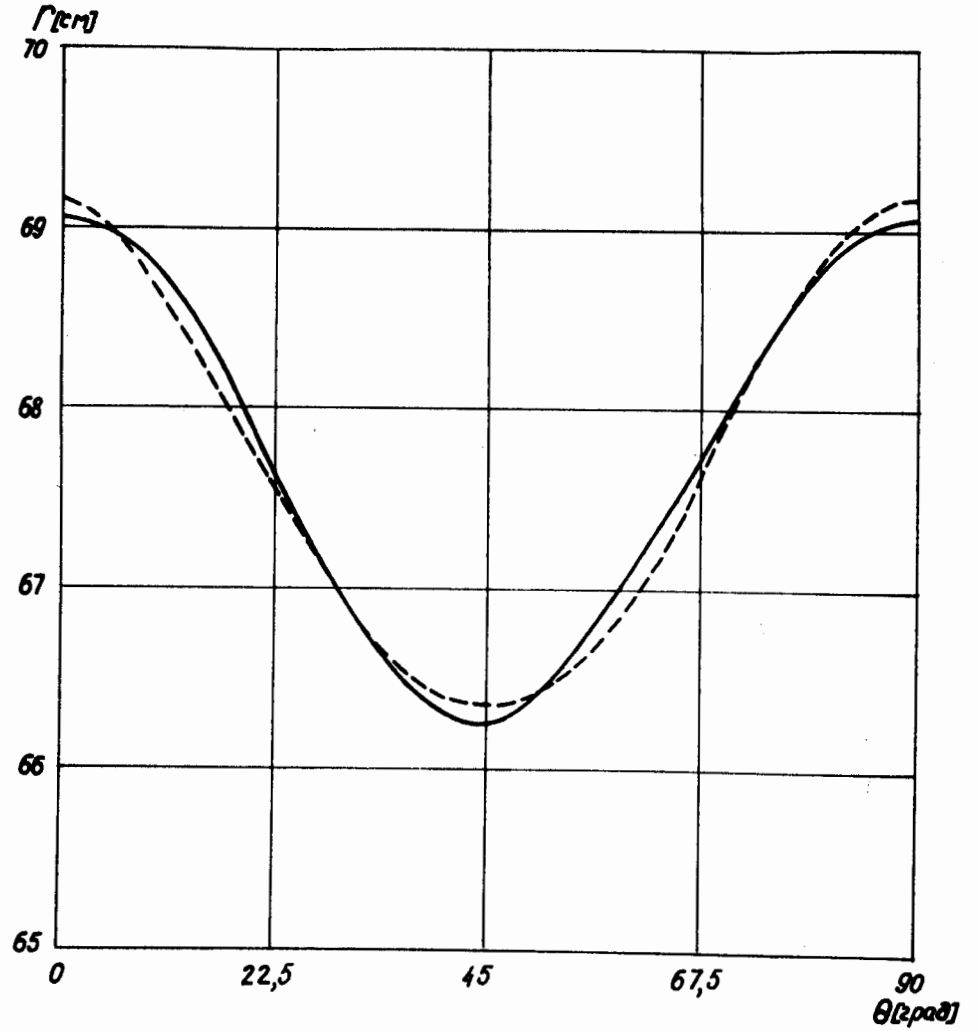
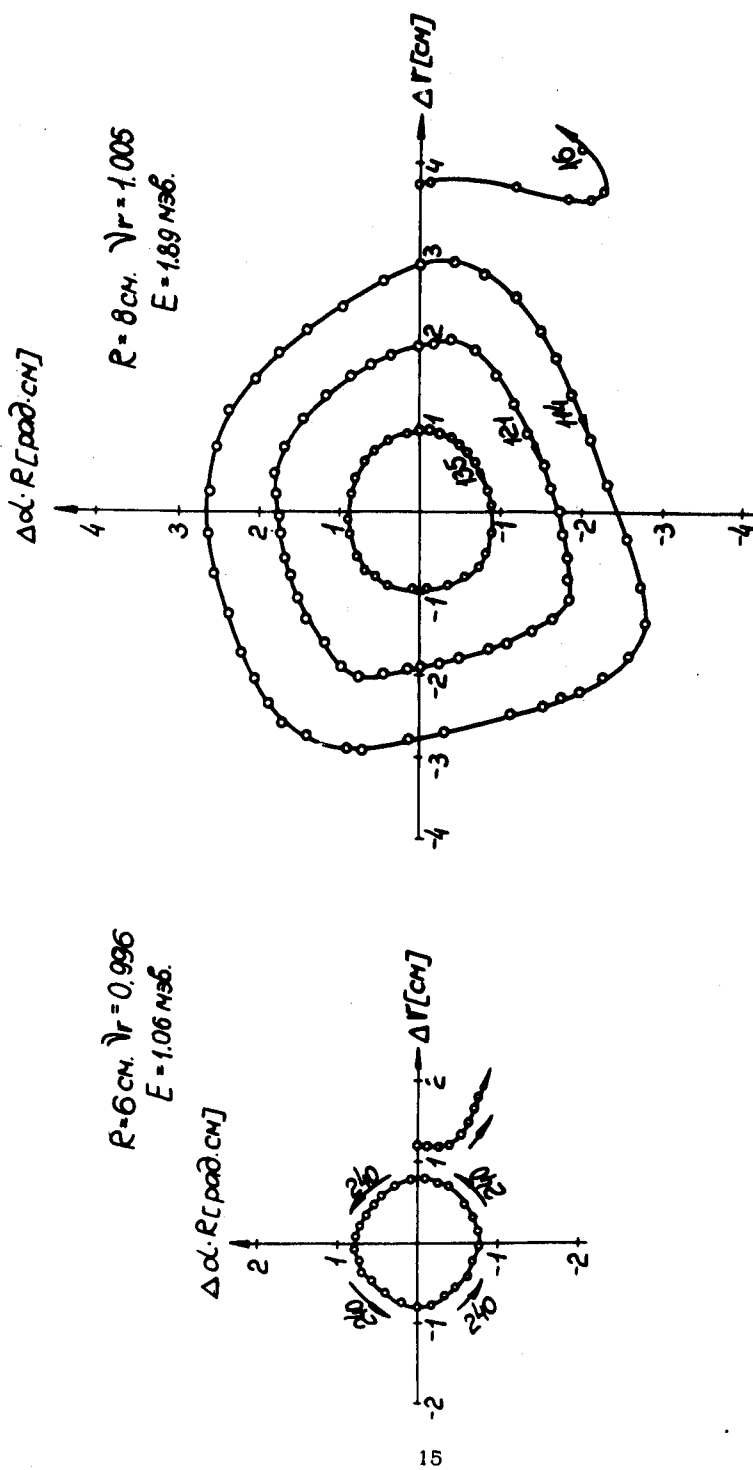


Рис.2. Равновесная орбита иона  $O_{16}^{+5}$  с энергией  $E = 138$  Мэв. — результаты численного интегрирования, - - - - результаты расчета по аналитической формуле.

$R$ [см]	6	8	10	20	30	40	50	60	70	80	90
1	$\gamma_1$ 0,99766	1,00344	1,0069	1,0083	1,0062	1,0101	1,0109	1,0108	1,0210	1,0162	0,7143
	$\gamma_2$ 0,11735	0,13635	0,18025	0,25198	0,26453	0,24997	0,23119	0,22483	0,18085	0,1823	0,63929
2	$\gamma_1$ 0,99617	1,00494	1,01203	1,0102	1,0071	1,0096	1,0075	1,0096	1,01818	1,0186	0,813637
	$\gamma_2$ 0,14393	0,17205	0,18542	0,2523	0,2665	0,2507	0,25491	0,23923	0,18643	0,2150	0,63018

14



15

Рис.3. фазовые графики для иона  $O^{+5}$  с энергией  $E = 1,06; 1,89$  Мэв. Точки на графиках - координаты орбиты иона при равных числах оборотов, стрелки - направление движения иона, цифры - числа оборотов иона по кривой.

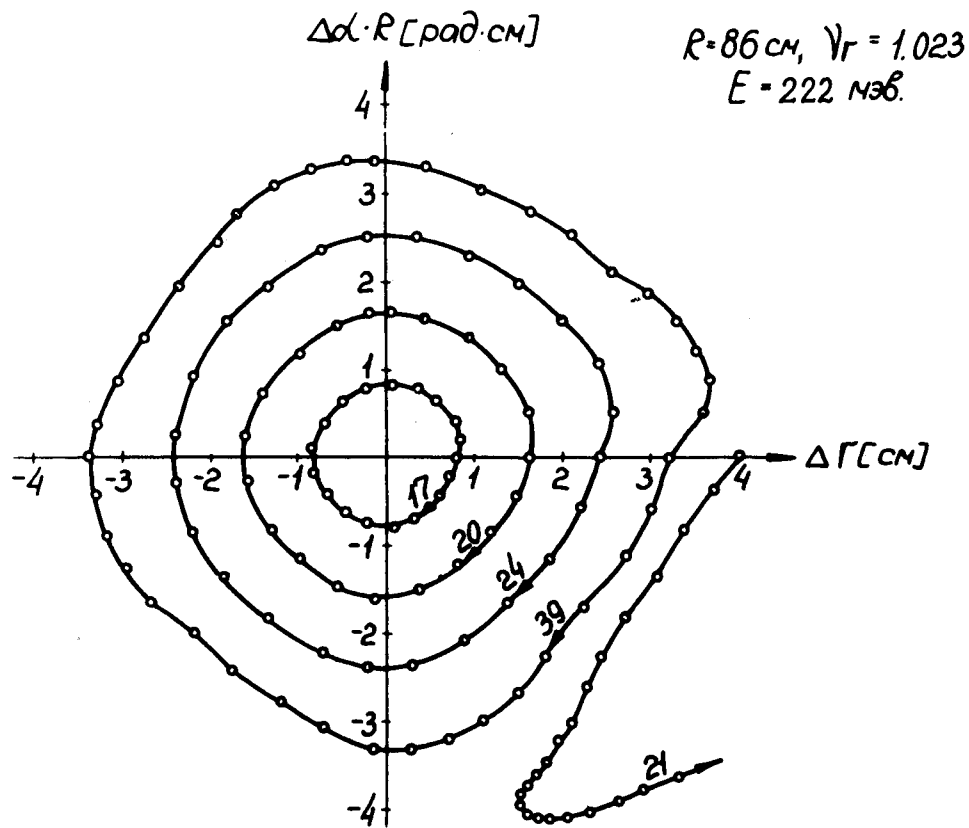


Рис.4. Фазовый график для  $E = 222$  МэВ. Величина предельной стабильной амплитуды радиальных колебаний для  $E = 2+220$  МэВ составляет  $4+5$  см.

определяется в фазовой плоскости, где по осям абсцисс и ординат откладываются соответственно отклонения от р.о.  $\Delta\Gamma$  и  $R \cdot \Delta\alpha$ , а р.о. изображается точкой в начале координат. Начальные отклонения  $\Delta\Gamma(0)$  задавались произвольно при  $\Delta\alpha(0)$ , равном нулю.

На рисунках 3,4 представлен ряд фазовых графиков для различных радиусов  $R$ ; скорость счета графиков на ЭВМ БЭСМ-4 составляла 10 об/мин.

Характерным свойством фазовых графиков является их разделение на две области. Имеется центральная область стабильности, в которой орбиты частиц находятся вблизи р.о. Кроме того существуют внешние области неустойчивости, где частицы смещаются относительно р.о. в направлении одного из четырех секторов. Из графиков для  $R = 6$  и  $8$  см видно, что при переходе через резонанс ( $\nu_r = 1$ ) изменяется направление движения частиц. Это свидетельствует о том, что орбиты меняют направление своего смещения относительно центра циклотрона. Из этих графиков можно оценить максимальную амплитуду стабильных радиальных колебаний при различных энергиях.

Проведенный численный анализ параметров равновесных орбит и фазового движения показывает, что сформированное магнитное поле циклотрона У-200 обеспечивает устойчивое и изохронное ускорение заданного набора ионов.

#### Л и т е р а т у р а

1. И.А. Шелаев и др. Препринт ОИЯИ 9-3988, Дубна, 1968.
2. И.А. Шелаев и др. Препринт ОИЯИ 9-4233, Дубна 1968.
3. Э.Г. Имаев и др. Препринт ОИЯИ 9-3713, Дубна 1968.
4. A.A. Garren. Nucl. Instr. and Meth. 18, 19, 309 (1962).
5. O. Smith, A.A. Garren. Report UCRL-8598, 1959.
6. Ю.Г. Басаргин, В.П. Белов. Сб. "Электрофизическая аппаратура", вып. 3, М., Атомиздат, 1965, стр. 3.
7. Ю.Г. Басаргин, Р.Н. Литуновский. Сб. "Электрофизическая аппаратура", вып. 5, М., Атомиздат, 1966, стр. 135.

8. T.A.Welton. *Sector-Focused cyclotron.*

*Proceeding of Conference at Sea Island, 1959, p. 48.*

9. D.J.Clark et al. *Nucl. Instr. and Meth., 18, 19, 1 (1962).*

Рукопись поступила в издательский отдел

11 апреля 1970 года.